化学沉淀过程对 VO_2 前驱体粒径的影响及其水热晶化的研究

刘 波 彭 穗 陈 勇 辛亚男

(成都先进金属材料产业技术研究院有限公司 四川 成都 610300)

摘 要: 以硫酸氧钒为钒源 氢氧化钠为沉淀剂 采用化学沉淀法—水热晶化法制备纳米 VO_2 粉体 ,研究了化学沉淀过程中钒浓度、沉淀 pH、反应温度、反应时间、表面活性剂种类及用量对前驱体粒径的影响,采用 X 射线衍射、 SEM、粒度分析及热分析等方法对产品的粒径分布、晶型、形貌及相变温度进行了分析。结果表明 ,在钒浓度为 0.1 mol/L、沉淀 pH 为 3.7、反应温度为 20 \mathbb{C} 、反应时间为 5 min、十六烷基三甲基溴化铵(CTAB) 用量为 0.1% 时,前驱体的最小粒径为 210 nm。得到的前驱体在 260 \mathbb{C} 温度下于去离子水中晶化 4h 后,得到了均一性良好的高纯度 M 相 VO_3 ,平均粒径为 205 nm 相变温度为 65.3 \mathbb{C} 。

关键词: 二氧化钒; 硫酸氧钒; 水热晶化; 化学沉淀

中图分类号: TF841.3 ,TF111.3 文献标志码: A **DOI**: 10.7513/j. issn. 1004-7638. 2020. 05. 010

文章编号: 1004-7638(2020)05-0058-08 开放科学(资源服务)标识码(OSID):



听语音 聊科研

Effect of Chemical Precipitation Process on Particle Size of VO₂ Precursor and Its Hydrothermal Crystallization

Liu Bo ,Peng Sui ,Chen Yong ,Xin Yanan

(Chengdu Advanced Metal Materials Industry Technology Research Institute Co. ,Ltd. ,Chengdu 610300 Sichuan ,China)

Abstract: Nanopowders of VO_2 were prepared by chemical precipitation assisted with hydrothermal crystal-lization using vanadyl sulfate as the vanadium source and sodium hydroxide as the precipitant. The influences of vanadium concentration ,pH value of precipitation ,reaction temperature ,reaction time ,type and dosage of surfactants on the particle size of precursor during chemical precipitation were studied. The crystal form morphology the size distribution and phase-transition temperature of products were analyzed by X-ray diffraction SEM particle size analysis and thermal analysis respectively. The results show that the precursor with a minimum size of 210 nm can be obtained at the concentration of vanadium of 0.1 mol/L the precipitation pH of 3.7 the reaction temperature of 20 °C for 5 min and the dosage of CTAB of 0.1% . High purity and homogeneity of M-VO₂ with the average particle size of 205 nm and the phase transition temperature of 65.3 °C can be obtained by crystallization of the precursor at 260 °C for 4 h in deionized water.

Key words: vanadium dioxide vanadyl sulfate hydrothermal crystallization chemical precipitation

0 引言

二氧化钒(VO₂)是目前报道最多以及应用最广

的一种钒氧化物,具有 $VO_2(A)$ 、 $VO_2(B)$ 、 $VO_2(C)$ 、 $VO_2(D)$ 、 $VO_2(M)$ 和 $VO_2(R)$ 等多种同素异构体 $^{[1-3]}$ 。 $VO_2(M)$ 是目前研究最多的物相,自1959年

收稿日期: 2020-07-20

作者简介: 刘 波(1988—) 男 陕西乾县人 硕士研究生 高级工程师 主要从事钒的湿法冶金相关工作 E-mail: csu_li-ubo@ 163. com。

Morin F. J. 首次发现其具有半导体—金属相变以来,己经证实光、热、电、应力等都可诱导 $VO_2(M)$ 发生相变,伴随晶体结构、电阻率、光学等特性的巨大变化 $[^{4-5]}$ 。发生相变时其晶体结构从单斜相变成四方金红石相,电阻率发生 3 个数量级以上的突变,从相变前的半导体变成了金属,光学性能方面 相变前后也从对红外光的高透过变成了高反射。由于 VO_2 独特的相变性质及优异性能,近年来在智能玻璃、光存储、激光辐射保护膜、锂电池电极等方面得到了应用 $[^{6-8]}$ 。

现阶段、VO。相变材料的研究主要分为两个方 向,一个方向是 VO。薄膜的制备,另一方向是 VO。 粉体的制备。膜的制备方法主要有气相沉积法、磁 控溅射法、真空蒸镀法和溶胶凝胶法,其中,气相沉 积法主要是易挥发分解的有机钒盐经高温、激光及 等离子等辅助手段在基底材料上沉积成膜的方 法[9-11]; 磁控溅射法主要是利用高能粒子轰击靶材, 使靶材表面的原子沿着一定方向逸出并在衬底上沉 积形成薄膜,靶材一般以金属钒为主[12-15];真空蒸 镀法是在一定条件下加热蒸发钒原料,使分子从原 材料表面气化逸出形成蒸汽流 沉积在衬底表面 再 经高温热处理得到目标产物[16-17];溶胶凝胶法主要 指将溶胶涂覆在衬底表面,经陈化、干燥、真空热处 理等工艺得到 VO₂ 薄膜^[18-20]。直接成膜的方法大 都对设备的要求高,且成膜过程往往受基体材料和 尺寸的限制,相比而言,将 VO2 粉体与无机或有机 透明分散基质均匀混合制备成涂覆浆料 涂覆浆料 可经过喷涂、旋涂、印刷等方式灵活地应用于各类衬 底 形成复合膜的技术 是制备大面积高性能涂层最 有效的方法。粉体的制备方法主要有化学沉淀法、 热分解法及水热合成法等。化学沉淀法是利用可溶 性钒盐在碱的作用下形成氢氧化氧钒沉淀 (VO(OH)。) 再经高温热分解得到 VO。粉体,可溶 性钒盐一般指四价钒盐,如硫酸氧钒(VOSO4)、草酸 氧钒(VOC_2O_4)、二氯氧钒($VOCl_2$)等。化学沉淀法 操作简易,成本低,处理量大,但合成的纳米粉体粒 径分布宽,分散性差[21];热分解法[22-23]主要是将 VOSO₄、VOC₂O₄、VOCl₂以及钒的有机盐通过喷雾形

成微细液滴 并在设定温度下加热分解获得钒氧化 物的方法,该方法结合了气相优点,可获得粒度均一 的超细粉体,但也存在能耗高,效率低的问题;水热 法可根据所采用的钒源分为两类,一类是五价钒源, 如偏钒酸铵(NH4VO3),五氧化二钒(V2O5),另一类 是四价钒源,如 VOC,O4, VOSO4, VOCl,。采用五 价钒源时一般涉及到还原步骤,常用的还原剂主要 有甲醇、甲酸、草酸、水合肼及双氧水等[24-26]。 采用 四价钒源则无需外加还原剂,只需加入碱性沉淀剂 (氨水 氢氧化钠 碳酸钠等)制备出氢氧化氧钒前 驱体 前驱体一般通过热处理得到目标产物。相比 以上的方法,水热合成法诸多优点,如设备相对低 廉 操作简单 可实现大批量生产 制备的产物纯度 高 结晶性好且粒度均一; 水热过程参数可调 ,产物 形貌易于控制。但水热法涉及热处理时存在能耗 高、部分产物烧融、晶体形貌被破坏等缺点。笔者以 硫酸氧钒为钒源 结合化学沉淀和水热反应的优点, 避开了热处理过程,采用化学沉淀辅助水热晶化的 方法制备得到了目标产物。

1 试验设备及材料

1.1 试验设备

陶瓷纤维马弗炉(型号:8-10TP,最高温度 1000 °C,上海慧泰仪器制造有限公司);真空干燥箱(型号:BPZ-6123,使用温度 $10\sim200$ °C,上海一恒科学仪器有限公司);酸度计(型号 PHS-3E,上海雷磁仪电科学仪器股份有限公司);集热式恒温加热磁力搅拌器(型号:DF-101S,郑州科泰实验设备有限公司);安东帕纳米粒度仪(型号:Litesizer500,测量范围 0.3 nm ~10 μ m,奥地利安东帕(Anton Paar)股份有限公司);高温高压水热反应釜(型号:MCT500,温度范围 $0\sim350$ °C,压力范围 $0\sim20$ MPa,北京世纪森朗实验仪器有限公司); X 射线衍射仪(型号:X*Pert PRO型,Co靶,扫描范围 $2\theta=5^\circ\sim90^\circ$ 荷兰 PANalytical 公司)。

1.2 试验材料

试验所用硫酸氧钒由高纯五氧化二钒制备而 来,主要化学成分如表1所示。

表 1 硫酸氧钒主要化学成分
Table 1 The main compositions of solid vanadyl sulfate

| K | Na | Fe | Cr | Si | Al | Ca | Mg | Mn | P |
|---------|---------|---------|--------|---------|--------|--------|--------|--------|--------|
| 0.003 3 | < 0.002 | 0.003 7 | <0.002 | < 0.002 | <0.002 | <0.002 | <0.002 | <0.002 | <0.002 |

其他试剂: 硫酸、氢氧化钠、表面活性剂 均为分析纯。

1.3 试验方法及原理

使用氢氧化钠溶液将一定浓度的硫酸氧钒溶液调至指定 pH 值 ,反应完成后使用离心机进行固液分离 ,并分别用去离子水和无水乙醇交替洗涤 6 次 ,得到离心产物。取一定质量离心产物加入去离子水中超声分散 60 min ,而后将分散好的溶液置于高温高压反应釜中 ,于设定温度和时间下反应 ,反应完成后在 10 000 r/min 的转速下分别用无水乙醇和去离子水交替离心洗涤 6 次 ,得到的沉淀产物置于真空干燥箱中低温真空干燥 ,取出经研磨得到蓝黑色粉体。

试验涉及的反应原理如下:

化学沉淀过程中 不同 pH 值条件下 ,溶液中四价钒离子呈现不同的存在形式 ,溶液颜色由蓝色转变为棕色 ,见式(2)、(3) ,再由棕色转变为无色 ,见式(4)、(5)。

$$VOSO_4 \rightarrow VO^{2+} + SO_4^{2-}$$
 (1)

$$VO^{2+} + H_2O \leftrightarrow [VOOH]^+ + H^+$$
 (2)

$$VO^{2+} + 2OH^{-} \rightarrow VO(OH)_{2}$$
 (3)

$$VO(OH)_2 + OH^- \rightarrow VO(OH)_3^-$$
 (4)

$$VO(OH)_{3}^{-} + OH^{-} \rightarrow VO(OH)_{4}^{-}$$
 (5)

水热晶化过程中,主要是棕色沉淀 $VO(OH)_2$ 脱水晶化生成 VO_2 , VO_2 又在温度和压力的双重作用下转变为不同的晶型,见式(6)、(7)。

$$VO(OH)_2 \rightarrow VO_2 + H_2O$$
 (6)

$$VO_2(B) \rightarrow VO_2(M)$$
 (7)

2 结果与讨论

2.1 化学沉淀工艺参数对前驱体粒径的影响

2.1.1 钒浓度对前驱体粒径的影响

在沉淀初始 pH 值为 4.0、反应温度为 20 °C、反应时间为 5 \min 、无添加剂的条件下,研究了不同钒浓度对前驱体粒径的影响,结果如图 1 所示。

由图 1 可知 在保持沉淀初始 pH 值不变的情况下 随着硫酸氧钒溶液中钒浓度的升高 前驱体的粒径逐渐增大。当钒浓度较低时前驱体的粒径较小 随着钒浓度的增加前驱体粒径逐渐增大 ,当钒浓度在 0.05~0.1 mol/L 范围内时 前驱体粒径为 440 nm 继续增加溶液钒浓度 ,前驱体粒径急剧增大 ,当钒浓度为 2.0 mol/L 时 ,前驱体粒径增大至1 780 nm。主要原因是浓度较高时化学反应迅速 ,大量的沉淀产物通

过缩合和吸附的作用形成大颗粒聚体(团簇)。考虑到产物收率 最佳钒浓度取 0.1 mol/L。

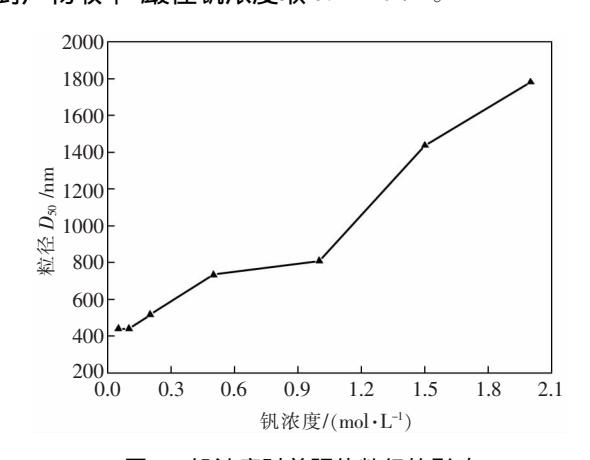


图 1 钒浓度对前驱体粒径的影响 Effect of vanadium concentration on the

Fig. 1 Effect of vanadium concentration on the particle size of precursor

2.1.2 沉淀 pH 值对前驱体粒径的影响

在钒浓度为 0.1 mol/L、反应温度为 $20 \text{ }^{\circ}\text{C}$ 、反应时间为 5 min、无添加剂的条件下,研究了不同沉淀初始 pH 值对前驱体粒径的影响,结果如图 2 所示。

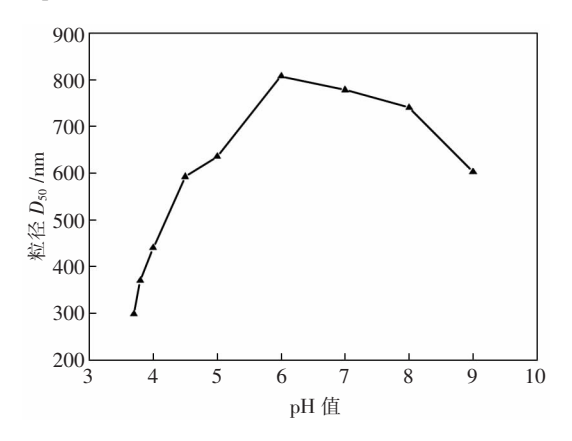


图 2 沉淀 pH 对前驱体粒径的影响 Fig. 2 Effect of precipitation pH on the particle size of precursor

由图 2 可以看出,前驱体粒径随着 pH 值的升高呈先增大后逐渐减小的趋势,当 pH 值范围为 3.7 ~ 6.0时 随着 pH 值的升高前驱体粒径逐渐增大,这主要是因为 pH 值升高,水解反应正向驱动力增强,促使反应迅速进行,短时间内产生大量的水解产物,这些水解产物相互吸附发生缩合反应,形成团聚体进而导致前驱体粒径增大。当 pH 值范围为 6~9 时,随着pH 值的升高前驱体粒径呈现出下降趋势,主要是因为VO(OH)。为两性化合物,当 pH 值为弱碱性及碱性

时 前驱体会溶解形成四价的钒酸盐 溶解过程破坏了产物团聚状态 在一定程度上起到了分散作用 故粒径也相对减小。因此 最佳沉淀初始 pH 值取 3.7。

2.1.3 反应时间对前驱体粒径的影响

在钒浓度为 0.1 mol/L、沉淀 pH 值为 3.7、温度为 $20 \text{ }^{\circ}\text{C}$ 、无添加剂的条件下,研究了不同反应时间对前驱体粒径的影响。结果见图 3.6

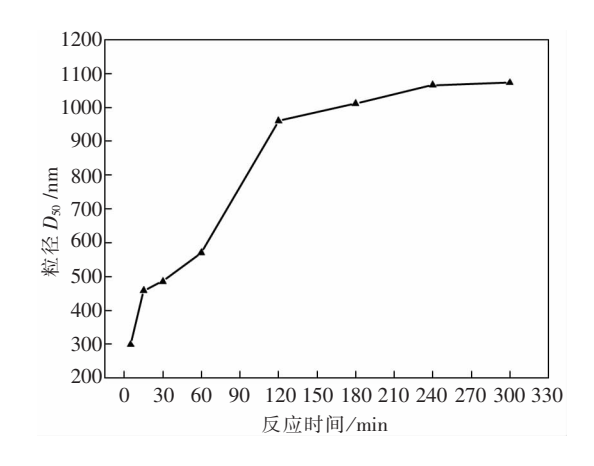


图 3 反应时间对前驱体粒径的影响 Fig. 3 Effect of reaction time on the particle size of precursor

硫酸氧钒溶液浓度一定,初始沉淀 pH 值达到3.7时 水解反应就开始进行,试验过程中从5 min 开始测试记录产物粒径,从图3可以看出,当反应时间在5~120 min 随着反应时间的延长,前驱体粒径急剧增大,主要是因为随着反应时间的延长,水解沉淀过程正向持续进行,一方面产物浓度逐渐增加,另一方面溶液中的已形成的前驱体缩合效应增强,双重作用使得产物粒径随时间延长持续增大。当反应时间大于120 min 时,前驱体粒径缓慢增加,说明化学沉淀过程基本反应完全。故最佳沉淀时间取5 min。

2.1.4 反应温度对前驱体粒径的影响

在钒浓度为 0.1 mol/L、沉淀 pH 值为 3.7、反应时间为 5 min、无添加剂的条件下,研究了不同反应温度对前驱体粒径的影响,结果见图 4。

由图 4 可知 随着反应温度的升高 前驱体的粒径逐渐增大 当温度为 100 ℃时 前驱体的粒径达到1 000 mm 这主要是因为在水解沉淀过程中 温度是最主要的驱动力 温度低时 水解沉淀反应温和缓慢 ,生成的沉淀产物较少 颗粒间吸附及缩合作用不明显 粒径相对较小。当温度较高时 水解反应迅速剧烈进行 沉淀产物大量生成 颗粒间吸附及缩合作用增强 ,使产物粒径急剧增大。故最佳沉淀温度取 20 ℃。

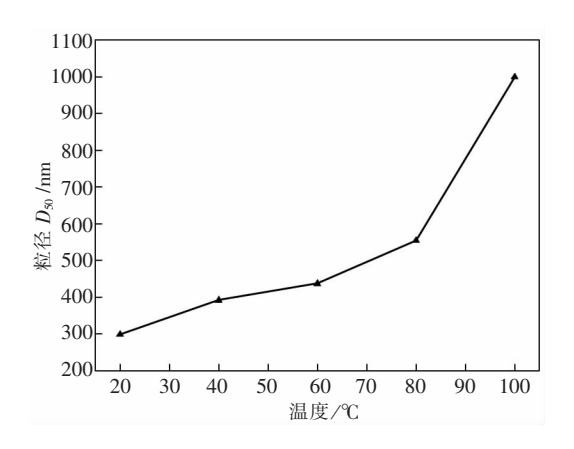


图 4 反应温度对前驱体粒径的影响 Fig. 4 Effect of reaction temperature on the particle size of precursor

2.1.5 表面活性剂种类对前驱体粒径的影响

在钒浓度为 0.1 mol/L、沉淀 pH 值为 3.7、温度为 20 °C、时间为 5 min 的条件下,研究了不同表面活性剂对前驱体粒径的影响,结果见图 5。

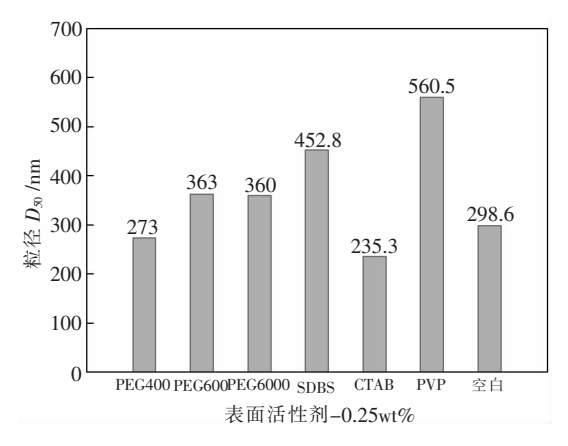


图 5 表面活性剂种类对前驱体粒径的影响 Fig. 5 Effect of surfactant types on the particle size of precursor

分别选取了 PEG400、PEG600、PEG6000、CTAB、SDBS 及 PVP 等六种表面活性剂,其中,PEG400、PEG6000 和 PEG6000 为非离子表面活性剂;十六烷基三甲基溴化铵(CTAB) 为阳离子表面活性剂;十二烷基苯磺酸钠(SDBS) 和聚乙烯吡咯烷酮(PVP)为阴离子表面活性剂。在各表面活性剂用量均为0.25%的情况下考察了前驱体粒径的变化情况。由图 5 可知,六种表面活性剂中,起正向作用的分别为PEG400和 CTAB,其余均起反向作用,当使用 CTAB时,效果最好,对比空白试验,前驱体粒径由298.6 nm 下降至235.3 nm,这主要是 CTAB 为季铵化合

物 能在酸性溶液环境中稳定存在并且带正电 ,而硫酸氧钒水解产物颗粒表面吸附氢氧根离子带负电,正负离子相互吸引形成稳定的分散体系。因此,CTAB 选作最佳表面活性剂。

2.1.6 表面活性剂用量对前驱体粒径的影响

在钒浓度为 0.1 mol/L、沉淀 pH 值为 3.7、温度为 20 ° 的条件下 研究了不同用量的 CTAB 分别在 5 min 和 30 min 对前驱体粒径的影响 结果如图 6 所示。

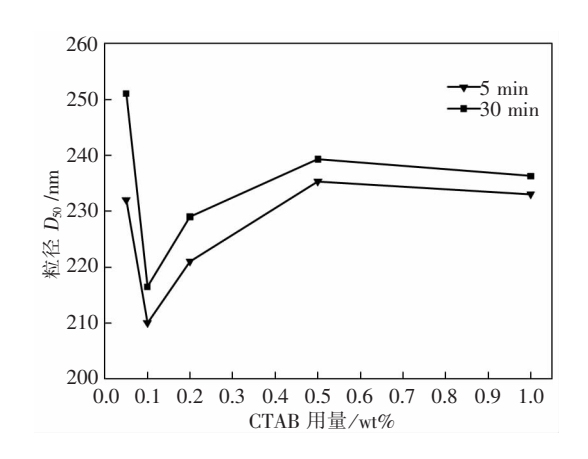


图 6 CTAB 用量对前驱体粒径的影响 Fig. 6 Effect of CTAB dosage on the particle size of precursor

由图 6 可知,当 CTAB 用量由 0.05% 增加到 1.0% 时,前驱体的粒径表现为先降低后增大,最终 保持不变。说明当 CTAB 用量为 0.05% 时 表面活 性剂用量不足,带正电的 CTAB 分子和带负电的前 驱体粒子间的吸引力不能抵抗固-液间表面张力进 而起到分散的作用,当 CTAB 用量为 0.1% 时,前驱 体的粒径最小 此时粒径为 210 nm 继续增加 CTAB 的用量 前驱体粒径略有增大而后保持不变 说明当 CTAB 用量达到 0.1% 时 表面活性剂浓度达到了临 界胶束浓度 此时溶液的表面张力降至最低值 继续 增大用量由于表面活性剂浓度过大,使部分表面活 性剂分子无法接触水溶液,造成表面活性剂的分散 性大幅降低 发挥不出应有的作用 此时前驱体的粒 径变化不大。同时可以看出,反应时间为 5 min 和 30 min 时前驱体的粒径变化小于 10 nm 基本没有 增加 说明 CTAB 起到了良好的分散和稳定作用。 因此 CTAB 的最佳用量选择 0.1%。

综上所述 化学沉淀步骤最佳试验工艺参数为: 钒浓度为 0.1 mol/L、沉淀初始 pH 值为 3.7、温度为 20 %、时间为 5 min、CTAB 的用量为 0.1% 在此条件下制备得到的前驱体平均粒径为 210 nm 左右。

2.2 VO, 前驱体的水热晶化及产物表征

2.2.1 XRD 和 SEM 分析

配置 3 L 浓度为 0.1 mol/L 的硫酸氫钒溶液, 边搅拌边滴加浓度为 100~200 g/L 的 NaOH 溶 液 ,待溶液 pH 为 3.7 时保持 5 min ,反应完成后 , 将溶液分装在规格为 6×500 mL 的离心机中干 3 600 r/min 的转速下离心分离 ,离心完成后将上 清液倒出,加入等体积的去离子水超声分散60 min ,洗涤过程分别用去离子水和无水乙醇交替离 心洗涤6次、离心步骤均相同、洗涤的目的是为了 去除反应中未反应完全的离子及其他中间产物。 取一定量离心得到的沉淀产物加入去离子水中超 声分散 60 min ,按 2.5% 的质量分数加入 PEG400, 并将溶液置入高温高压反应釜中,于260℃下反 应 4 h 反应完成后在 10 000 r/min 的转速下分别 用无水乙醇和去离子水交替洗涤 6次,得到的沉 淀产物置于真空干燥箱中低温(60 ℃)真空干燥6 h 后 取出经研磨得到蓝黑色粉体。

将制备得到的蓝黑色粉体分别进行 XRD 和 SEM 检测 ,结果如图 7、8 所示 ,由图 7 可以看出 ,XRD 图谱与标准卡的对比结果显示制备得到的蓝黑色粉体为 M 相 VO₂ ,且不含有其他杂相。图 8 是 VO₂ 粉体分别放大 10 000 倍和 30 000 倍的 SEM 图像 ,可以看出 ,制备得到的 VO₂ 粉体呈颗粒状 ,均一性好 粒径在 200 nm 左右。

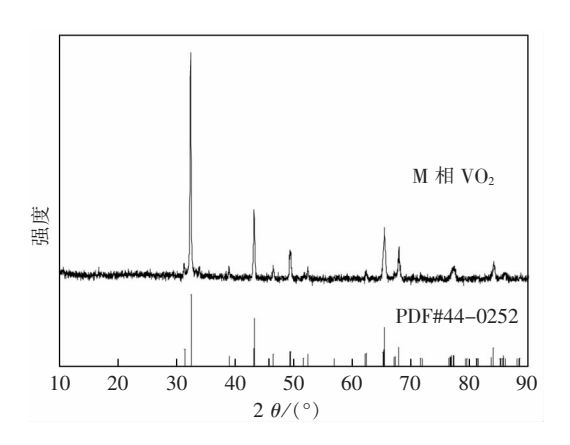


图 7 VO₂ 粉体的 XRD 图谱 Fig. 7 XRD pattern of VO₂ powder

2.2.2 粒度分析

为了进一步获得 VO_2 粉体的粒径分布的详细情况 使用纳米粒度仪对粉体进行了粒径分析(见图 9) 3 次重复测量结果显示 在 $0 \sim 1$ μ m 范围内

VO₂ 粉体的分布区间窄 均一性良好 ,三次曲线基本 重合 ,说明粉体分散性和重复性好。根据表 2 计算 得出平均粒径为 205 nm (取 D_{50}) 与 SEM 图谱显示结果一致。

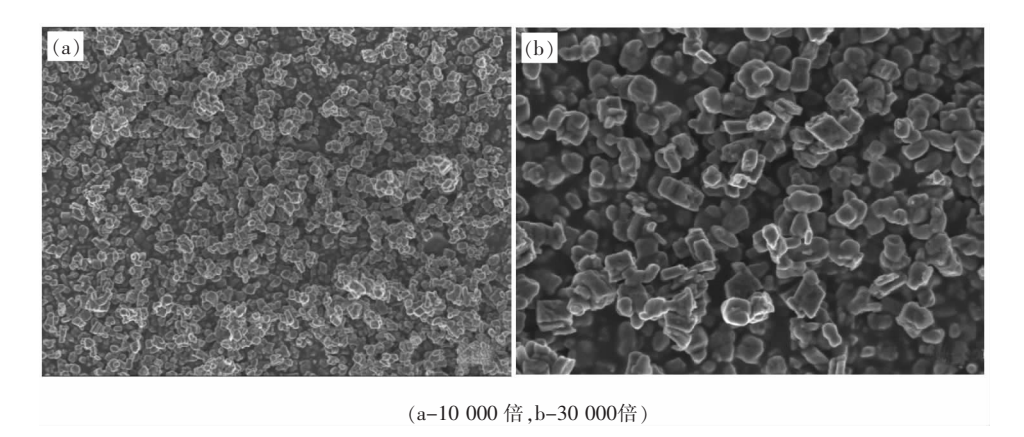


图 8 VO₂ 粉体的 SEM 图 Fig. 8 SEM of VO₂ powder

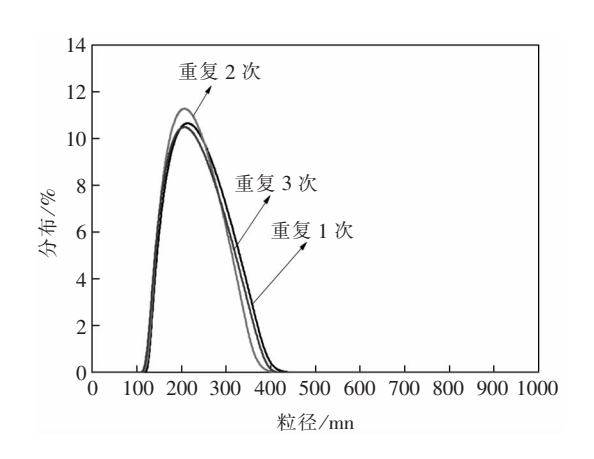


图 9 VO₂ 粉体的粒径分布 Fig. 9 Particle size distribution of VO₂ powder

表 2 VO_2 粉体的粒径分布 Table 2 Particle size distribution of VO_2 powder nm

| 次数 | D_{10} | D_{50} | D_{90} |
|------|----------|----------|----------|
| 重复1次 | 149 | 210 | 299 |
| 重复2次 | 146 | 202 | 281 |
| 重复3次 | 144 | 203 | 292 |

2.2.3 差热分析

为了表征制备的 VO_2 的相变特性 ,对 VO_2 粉体进行了差热 DSC 分析 ,DSC 图谱如图 10 所示 ,图中在 65.3 $^{\circ}$ 飞 附近有一个明显的吸热峰 ,说明 VO_2 纳米粉体的相变温度为 65.3 $^{\circ}$ 。一般情况下未进行任何掺杂的 VO_2 粉体相变温度在 68 $^{\circ}$ 左右 ,但制备方法的不同使得相变温度略有差异 ,说明采用的方法在一定程度上降低了 VO_2 的相变温度。

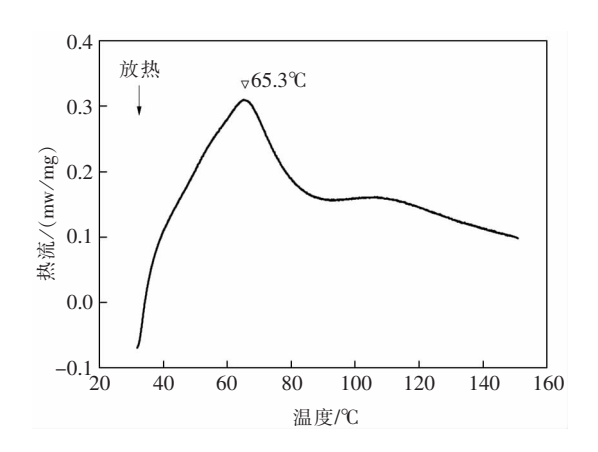


图 10 VO₂ 粉体的 DSC 曲线 Fig. 10 DSC curve of VO₂ powder

3 结论

- 1) 化学沉淀制备前驱体的过程中 NO_2 前驱体的粒径与钒浓度、沉淀 pH、反应温度以及反应时间均呈正相关关系 化学沉淀制备前驱体的最佳工艺参数范围为: 钒浓度为 0.1 mol/L、沉淀 pH 值为 3.7、温度为 20 °C、时间为 5 min。此条件下得到的前驱体粒径约为 298.6 nm。
- 2) 表面活性剂添加试验分别使用了阳离子表面活性剂: 十六烷基三甲基溴化铵(CTAB), 阴离子表面活性剂: 十二烷基苯磺酸钠(SDBS)和 PVP(聚乙烯吡咯烷酮),非离子表面活性剂: PEG400、PEG600和 PEG6000。结果显示 CTAB 效果显著,添加量为 0.1%时,可以将前驱体的粒径从 298.6 nm

降至 210 nm ,且随着时间的延长粒径基本保持不变 ,溶液分散性好 稳定性高。

3) 水热晶化得到的蓝黑色粉体经 XRD 分析为 M 相 VO₂ 不含有其他杂相。由 VO₂ 粉体的 SEM 图像可以看出制备得到的 VO₂ 粉体呈颗粒状 均一性

好。使用纳米粒度仪对粉体进行了粒径分析 ,结果显示 VO_2 粉体的均一性和重复性好 ,计算得出平均粒径为 205 nm ,与 SEM 图谱显示结果一致。差热分析结果显示 , VO_2 粉体的相变温度为 $65.3 \text{ }^{\circ}\text{ }^{\circ}$.

参考文献

- [1] Song Z Zhang L Xia F et al. Controllable synthesis of VO₂(D) and their conversion to VO₂(M) nanostructures with thermochromic phase transition properties [J]. Inorganic Chemistry Frontiers 2016 3(8):1035-1042.
- [2] Popuri S R Miclau M Artemenko A et al. Rapid hydrothermal synthesis of VO₂(B) and its conversion to thermochromic VO₂
 (M1) [J]. Inorganic Chemistry 2013 52(9):4780-4785.
- [3] Zhang Y Huang Y Zhang J et al. Facile synthesis phase transition optical switching and oxidation resistance properties of belt-like VO₂(A) and VO₃(M) with a rectangular cross section [J]. Materials Research Bulletin 2012 47(8):1978-1986.
- [4] Liu Dongqing ,Cheng Haifeng Zheng Wenwei ρt al. Applications of VO₂ in adaptive infrared stealth technology [J]. Infrafed and Laser Engineering 2012(11): 2898–2902.
 - (刘东青 程海峰 郑文伟 等. 二氧化钒在红外自适应隐身技术中的应用[J]. 红外与激光工程 2012(11):2898-2902.)
- [5] Sun Xiaoning Qu Zhaoming ,Wang Qingguo ρt al. Research progress of metal-insulator phase transition in VO₂ induced by electric field [J]. Acta Physica Sinica 2019 $\rho 8$ (10): 233–242.
 - (孙肖宁, 曲兆明, 王庆国, 等. 电场诱导二氧化钒绝缘—金属相变的研究进展[J]. 物理学报 2019 68(10):233-242.)
- [6] Tang Lu ,Huang Wanxia ,Wen Hao *et al.* Study on thermal insulation properties of nano-VO₂ modified plexi glass [J]. Iron Steel Vanadium Titanium 2019 40(5):55-60.
 - (唐露 黃婉霞 文皓 筹. 纳米 VO, 改性有机玻璃的隔热性能研究[J]. 钢铁钒钛 2019 AO(5):55-60.)
- [7] Luo Hongjie ,Gao Yanfeng. Solution processing and optical properties of VO₂ thermochromic materials [J]. Materials China , 2009 28(1):38-42.
 - (罗宏杰 高彦峰.二氧化钒智能节能材料的溶液法制备与光学性能[J].中国材料进展 2009 28(1):38-42.)
- [8] Wang Chao Zhao Li ,Wang Shimin ρt al. Recent research of vanadium dioxide thin film smart window [J]. Materials Review , 2017 31(S1):257-262 272.
 - (王超 赵丽 ,王世敏 ,等. 二氧化钒薄膜智能窗的研究进展[J]. 材料导报 2017 31(S1): 257-262 272.)
- [9] Shayapov V R ,Yakovkina L V . Characteristics of the phase transition in vanadium dioxide films obtained via chemical vapor deposition [J]. Russian Journal of Physical Chemistry A 2019 93(8):1449-1454.
- [10] Shayapov V R , Yakovkina L V , Bulina N V , et al. Temperature dependences of the optical properties and the phase composition of vanadium dioxide films obtained by chemical vapor deposition [J]. Journal of Structural Chemistry 2017 58(8):1515–1521.
- [11] Guo Beibei. Study on optical 'electrical properties and applications of VO₂ thin films fabricated by chemical vapor deposition [D]. Shanghai: Shanghai University 2018.

 (郭贝贝. 基于化学气相沉积法制备 VO₂ 薄膜及其光、电性能与应用研究[D]. 上海: 上海大学 2018.)
- [12] Melnik V P ,Khatsevych I M ,Goltvyanskyi Y V , et al. Thermochromic properties of vanadium dioxide films obtained by magnetron sputtering [J]. Ukrainian Journal of Physics 2011 56(6):534-540.
- [13] Vu T D Liu S Zeng X *et al.* High-power impulse magnetron sputtering deposition of high crystallinity vanadium dioxide for thermochromic smart windows applications [J]. Ceramics International 2020 *A*6(6):8145-8153.
- [14] Muslim N Soon Y W ,Voo N Y . Characteristics of RF magnetron sputtered VO₂ thin films for potential applications of solar control coatings [J]. IOP Conference Series: Materials Science and Engineering 2019.
- [15] Gu Jinxin Wei Hang Ren Feifei et al. Progress on the preparation of VO₂ thin films by high-power impulse magnetron sputtering technology [J]. Journal of Harbin Engineering University 2020 41(2):219-226.

 (谷金鑫 魏航 任飞飞 等. 高能脉冲磁控溅射技术制备 VO₂ 薄膜研究进展[J]. 哈尔滨工程大学学报 2020 41(2):219-226.)
- [16] Chen Wenqing ,Kaneko Yoshikazu ,Kanno Yoshinori. Structural and electrochromical characterization of vanadium oxide film synthesized by laser ablation and vacuum evaporation [C] // The Japan Society of Mechanical Engineers 2002.

- [17] Tao Xin Lu Hao Li Pai ρt al. The influence of oxygen pressure on the structure optoelectronic properties and MIT characters of VO₂ thin films [J]. Material Sciences 2018 8(5):573-581.

 (陶欣 陆浩 李派 等. 沉积氧压对二氧化钒薄膜结构、光电性能及其 MIT 相变特性的影响研究 [J]. 材料科学 2018 8 (5):573-581.)
- [18] Wang N Magdassi S Mandler D *et al.* Simple sol-gel process and one-step annealing of vanadium dioxide thin films: Synthesis and thermochromic properties [J]. Thin Solid Films 2013 534(1):594-598.
- [19] Seyfouri Mohammad Moein et al. Sol-gel approaches to thermochromic vanadium dioxide coating for smart glazing application [J]. Solar Energy Materials and Solar Cells: An International Journal Devoted to Photovoltaic Photothermal and Photochemical Solar Energy Conversion 2017, 159: 52-65.
- [20] Ge Zhenhua Zhao Kunyu Li Zhidong *et al.* Study on VO₂ thin films prepared by inorganic sol-gel method [J]. Electronic Components and Materials 2008(11):46–49.
 - (葛振华 赵昆渝 李智东 等. 无机 sol-gel 法制备二氧化钒薄膜的研究[J]. 电子元件与材料 2008(11):46-49.)
- [21] Yang Xiuchun ,Wang Yingbo Zhou Shishan ϱt al. Synthesis of M–VO₂ nanopowders by hydrolysis method [J]. Journal of Building Materials 2010 ,13(6):827–830.
 - (杨修春,王胤博,周石山,等.水解法制备 M-VO2 纳米粉体[J]. 建筑材料学报 2010,13(6):827-830.)
- [22] Huang Weigang ,Lin Hua ,Tu Mingjin. Preparation of VO₂ nanopowder by thermal decomposition of VOC₂O₄ H₂O and its phase transition characteristic [J]. Journal of Functional Materials 2006(3):440-441.

 (黄维刚 林华 涂铭旌. VOC₂O₄ H₂O 热分解制备纳米 VO₂ 粉体及相变特性[J]. 功能材料 2006(3):440-441.)
- [23] Qi Ji Ning Guiling Hua Ruinian et al. Research on preparation of vanadium dioxide by controlling ammonium metavanadate decomposition and reactions between the products [J]. Materials Review 2010 24(16):91-93.
 - (齐济, 宁桂玲, 华瑞年, 等. 控制 NH₄VO₃, 分解及产物间反应制备 VO₂, 的研究[J]. 材料导报 2010 24(16):91-93.)
- [24] An Xinxin Jing Xiping Jiao Huan. Preparation of VO₂ by oxalic acid reduction method [J]. Chinese Journal of Inorganic Chemistry 2010 26(7):1159–1164.
 - (安鑫鑫 荆西平 焦桓.草酸还原法制备 VO₂[J]. 无机化学学报 2010 26(7):1159-1164.)
- [25] Song Linwei Huang Wanxia Zhang Yubo *et al.* Preparation of VO₂ films and study on its thermochromic properties [J]. Journal of Functional Materials 2013 44(8):1110-1112.
 - (宋林伟 黃婉霞 涨玉波 等. VO。薄膜的制备及其热致相变特性研究[J]. 功能材料 2013 44(8):1110-1112.)
- [26] Chen Yichao ,Yan Wenbin ,Shi Aihua ρt al. Preparation of M-phase vanadium dioxide powder by microwave assisted thermal reduction of methanol [J]. Materials Science and Technology 2019 27(3):41-46.
 - (陈益超 颜文斌 石爱华 等. 微波辅热—甲醇还原法制备 M 相二氧化钒粉体 [J]. 材料科学与工艺 2019 27(3):41-46.)

编辑 杨冬梅

攀钢研究院"钒铬渣分离提取钒铬技术研究"获冶金科学技术奖二等奖

8月12日获悉, 钒钛资源综合利用国家重点实验室的项目"钒铬渣分离提取钒铬技术研究"荣获 2020 年冶金科学技术奖二等奖。

"钒铬渣分离提取钒铬技术研究"作为国家级攀西战略资源创新开发试验区第二批科技攻关项目子课题,该项目聚焦攀西地区红格南矿铬品位高,但现有工艺无法回收利用铬资源,存在铬资源浪费和潜在的铬污染环保隐患问题进行立项。攀钢研究院钒技术研究所作为钒钛资源综合利用国家重点实验室成员单位,承担了该项课题研究。项目团队历时六年的研究,攻克了钒铬渣中钒铬同步转化、溶液分离钒铬等技术难题,并完成了工业试验,形成钒铬渣分离提取钒铬成套产业化技术,精粉钒铬渣至氧化钒的钒收率超预期,至铬产品的铬收率达到技术经济指标,为红格矿的开发利用提供技术支撑。

(刘莉 供稿)